

МИНИСТЕРСТВО ОБРАЗОВАНИЯ  
РОССИЙСКОЙ ФЕДЕРАЦИИ

НОВОСИБИРСКИЙ ГОСУДАРСТВЕННЫЙ УНИВЕРСИТЕТ

**Физический факультет**

Кафедра Физики Элементарных Частиц

*Квалификационная работа на  
соискание степени бакалавра.*

**Изучение регистрации света различных  
сцинтилляторов лавинными фотодиодами.**

*Епифанов Денис Александрович*

**Научный руководитель:**

к.ф.-м.н. с.н.с. ИЯФ СО РАН  
**Шварц Борис Альбертович**

**Новосибирск - 1999 г.**

## Содержание.

Введение	-2-
Основные принципы работы APD и PIN диодов	-4-
Измерение основных характеристик	-8-
Тракт съёма сигнала с PD и электронный шум	-13-
Исследование дробового шума	-18-
Измерение фактора избыточного шума — F	-22-
Исследование разрешения сцинтилляционного счетчика на основе кристаллов: CsI(Tl), BGO , лютеций–алюминиевого граната, с применением APD и PIN PD.	-25-
Большой счетчик на основе кристалла CsI(Na) и PIN фотодиода	-34-
Заключение	-35-
Список использованной литературы	-36-

## Введение.

В настоящее время сцинтилляционные кристаллы широко используются в самых различных областях человеческой деятельности для регистрации  $\gamma$  квантов и измерения их энергии.

В физике высоких энергий сцинтилляционные кристаллы применяются в электромагнитных калориметрах, являющихся важной частью современных детекторов элементарных частиц [1]. Сцинтиллятором называется вещество, в котором часть энергии, оставленной ионизирующей частицей, идет на образование световой вспышки. В устройствах с использованием сцинтилляторов в качестве фотоприемников широко используются фотоэлектронные умножители (ФЭУ). Их высокий коэффициент усиления (до  $10^7$ ) позволяет снимать с анода ФЭУ достаточно большой сигнал, не требующий дальнейшего усиления. При этом как шумами электроники так и термоэмиссией с фотокатода обычно можно пренебречь.

В современных детекторах возникает необходимость размещения калориметра в области сильным магнитным полем, где обычный ФЭУ не работает. Одним из решений оказывается применение полупроводникового фотодиода (ФД). При попадании фотона в область р-п перехода происходит рождение электронно – дырочной пары; дрейф носителей в электрическом поле диода приводит к возникновению импульса тока в цепи диода.

Кроме способности работать в магнитном поле, ФД обладает следующими достоинствами:

- высокая квантовая эффективность ( 70–80 %);
- высокая стабильность;
- компактность.

Однако, из-за отсутствия усиления, сигнал с ФД достаточно мал. Поэтому шумы электроники дают заметный вклад в разрешение счетчика при низких энергиях, даже при наличии низкошумящего предусилителя.

Если в полупроводниковой структуре имеется область с высокой напряженностью электрического поля, то носители (как электроны, так и дырки) могут приобрести на длине свободного пробега энергию, достаточную для образования новой электронно – дырочной пары. В результате происходит лавинообразное нарастание числа носителей, то есть усиление начального сигнала. Коэффициент усиления  $g$  может достигать нескольких тысяч.

В настоящее время появились лавинные фотодиоды (APD), которые можно использовать для сцинтилляционных счетчиков [2,3].

Настоящая работа посвящена изучению свойств и возможности использования лавинных ФД производства фирмы Хамамацу (Япония). В ее задачи входило:

1) Измерение основных характеристик APD :

- зависимость темнового тока от напряжения;
- зависимость коэффициента усиления  $g$  от напряжения.

2) Измерение, в сравнении с PIN диодом, шумовых характеристик APD в зависимости от параметров электронного тракта.

3) Изучение энергетического разрешения счетчиков на основе различных сцинтилляционных кристаллов, с применением APD и PIN диода в качестве фотоприемника.

## 1. Основные принципы работы APD и PIN диода.

Фотодиод — это полупроводниковый детектор фотонов. Структура кремниевого диода n–p типа и схема его включения показаны на рис.1.

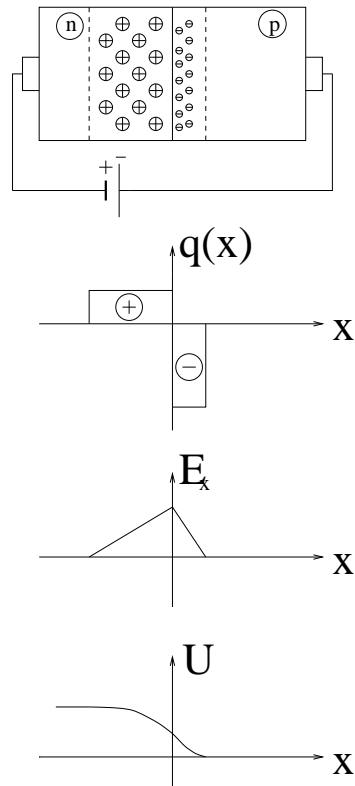


Рис. 1: Устройство полупроводникового диода.

На кремниевой пластине n – типа (с концентрацией донорных примесей –  $N_n$ ) создается область p – типа со значительно большей концентрацией акцепторной примеси –  $N_p \gg N_n$ .

Основные носители:

- в n области — электроны (неосновные — дырки);
- в p области — дырки (неосновные — электроны).

В результате диффузии электронов из n в p область, а дырок из p в n область, формируется n – p переход. Так как  $N_p \gg N_n$ , то n – p переход в основном будет сосредоточен в n области. Обедненная носителями

область n – p перехода имеет высокое сопротивление (близкое к сопротивлению чистого кремния).

Образовавшееся распределение заряда, а также зависимость электрического поля и потенциала от координаты показаны на рис.1. Возникший потенциальный барьер препятствует дальнейшей встречной диффузии основных носителей, однако он является сопутствующим для неосновных носителей.

При подключении напряжения  $U_d$  (как показано на рис.1) в цепи диода появляется темновой ток, образованный движением неосновных носителей через n – p переход; его величина сильно зависит от температуры.

Ширина обедненной зоны  $d \sim \sqrt{U_d}$ , поэтому емкость фотодиода  $C_{PD}$  падает с увеличением  $U_d$  по закону:

$$C_{PD} \sim \frac{1}{\sqrt{U_d}}.$$

По сравнению с обычным PD, PIN диод (см. рис.2) имеет высокоомный I слой между p и  $n^+$  областями, что приводит к увеличению рабочего объема PIN диода. PIN диод, за счет широкого I слоя (толщиной до нескольких миллиметров), имеет значительно меньшую емкость (при той же площади запорного слоя) нежели простой PD.

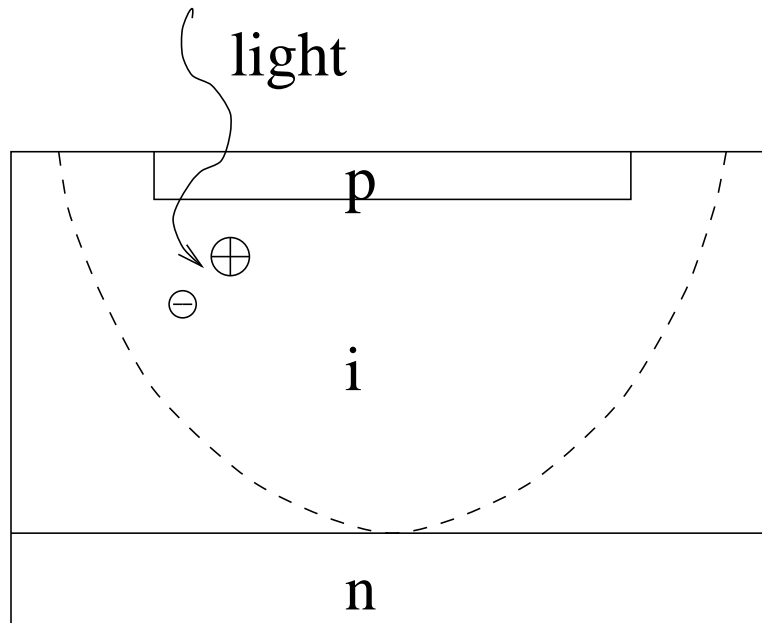


Рис. 2: Устройство PIN диода.

Схема APD приведена на рис.3.

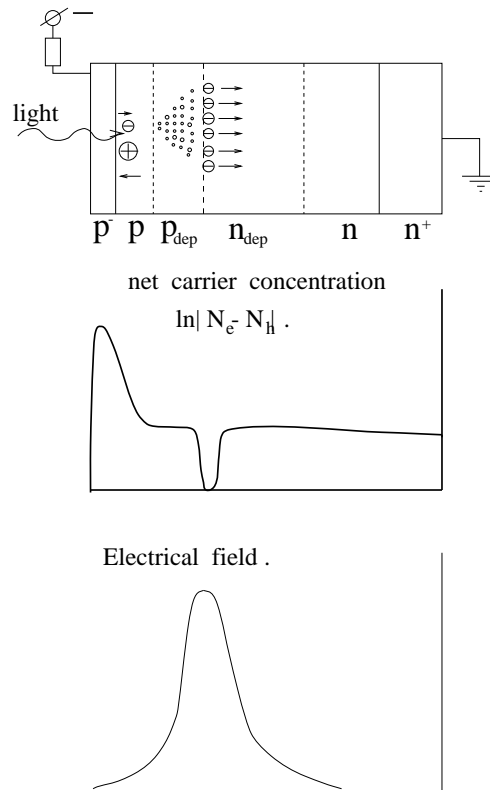


Рис. 3: Устройство лавинного диода.

При попадании фотона в р область APD возникает электрон – дырочная пара. Небольшое электрическое поле  $E$ , имеющееся в этой области, вызывает дрейф дырки по полю, а электрона против поля к области п-р перехода с существенно большей напряженностью поля  $E$ . Здесь поле может быть таким, что на длине свободного пробега  $\lambda$  электрон (дырка) успевает набрать энергию, достаточную для перевода валентного электрона в зону проводимости. В результате происходит лавинообразное увеличение числа носителей, то есть усиление начального сигнала.

Дырки по сравнению с электронами имеют большую эффективную массу, поэтому для них условие развития лавины наступает при больших электрических полях. Значит вплоть до некоторого напряжения APD преимущественно электроны участвуют в образовании лавины. С повышением напряжения вклад дырок в лавину растет.

При определенном напряжении  $U_b$  коэффициент усиления APD — g становится бесконечным — происходит пробой. Вблизи  $U_b$  можно достигнуть больших коэффициентов усиления ( до нескольких тысяч ).

Если на светочувствительную поверхность APD падает последовательность световых импульсов одинаковой интенсивности, то ширина регистрируемого фотопика определяется:

- 1) Шумами электроники.
- 2) Статистикой фотоэлектронов.
- 3) Флуктуациями лавины, которые описываются фактором избыточного шума –  $F$ .

Таким образом, если в р слое APD изначально родилось  $N_0$  пар (флуктуация числа пар  $\sqrt{N_0}$ ), то на выходе APD флуктуация носителей будет  $-\sqrt{FN_0}g$ .

При небольших коэффициентах усиления  $g$ , когда преимущественно электроны участвуют в образовании лавины, фактор  $F$  можно упрощенно записать в виде:

$$F = 1 + \frac{1}{m_1} + \frac{1}{m_1 m_2} + \dots + \frac{1}{m_1 \dots m_N};$$

где:  $m_i$  — усиление  $i$ -той стадии лавины. В простейшем случае  $m = 2$  для каждой стадии. В этом приближении  $F \approx 2$  для больших коэффициентов усиления. Реально, при больших  $g$  дырки начинают давать заметный вклад в процесс развития лавины, и поведение  $F$  от  $g$  усложняется.

## 2. Измерение основных характеристик

Наиболее важными характеристиками фотодиода являются зависимость величины сигнала и темнового тока от напряжения.

Схема измерения этих характеристик представлена на рис.4.

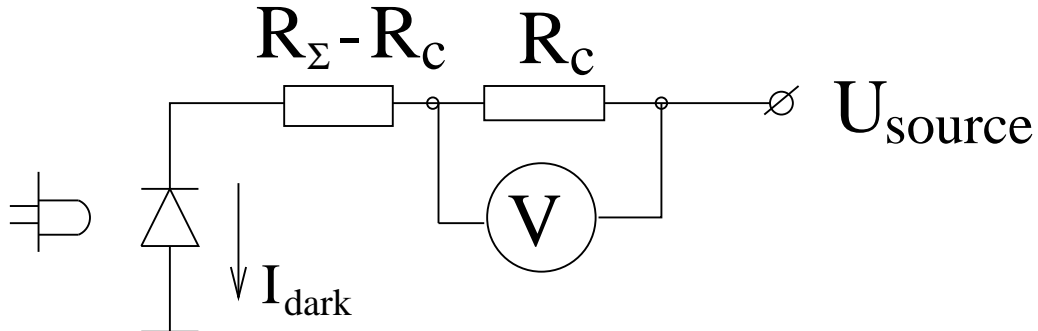


Рис. 4: Схема измерения темнового тока и коэффициента усиления от напряжения.

Для измерения темнового тока  $I_d$  на размещенный в светоизолированном объеме диод подавалось постоянное напряжение  $U_s$ . Возникающий в цепи темновой ток  $I_d$  измерялся по падению напряжения на сопротивлении  $R_c = 10 \text{ Мом}$ . Из рис.4 видно, что напряжение на диоде  $U_d$  при этом будет:

$$U_d = U_s - I_d R_\Sigma \quad (1)$$

Вначале, для проверки работоспособности схемы, были измерены зависимости темнового тока и фототока (засветка при помощи светодиода см. рис.4) от напряжения для нескольких PIN диодов. Темновой ток от напряжения для двух фотодиодов (пр-ва Hamamatsu) представлен на рис.5.

Также было проверено, что для PIN диода серии S2744-08 5B3 (Hamamatsu,  $S=2 \text{ кв.см.}$ ) уже при напряжении  $U_d \sim 0,1 \text{ V}$  наступает насыщение фототока, что соответствует тому, что все высвобождающиеся, под действием света, носители участвуют в создании фототока (см. рис.6).

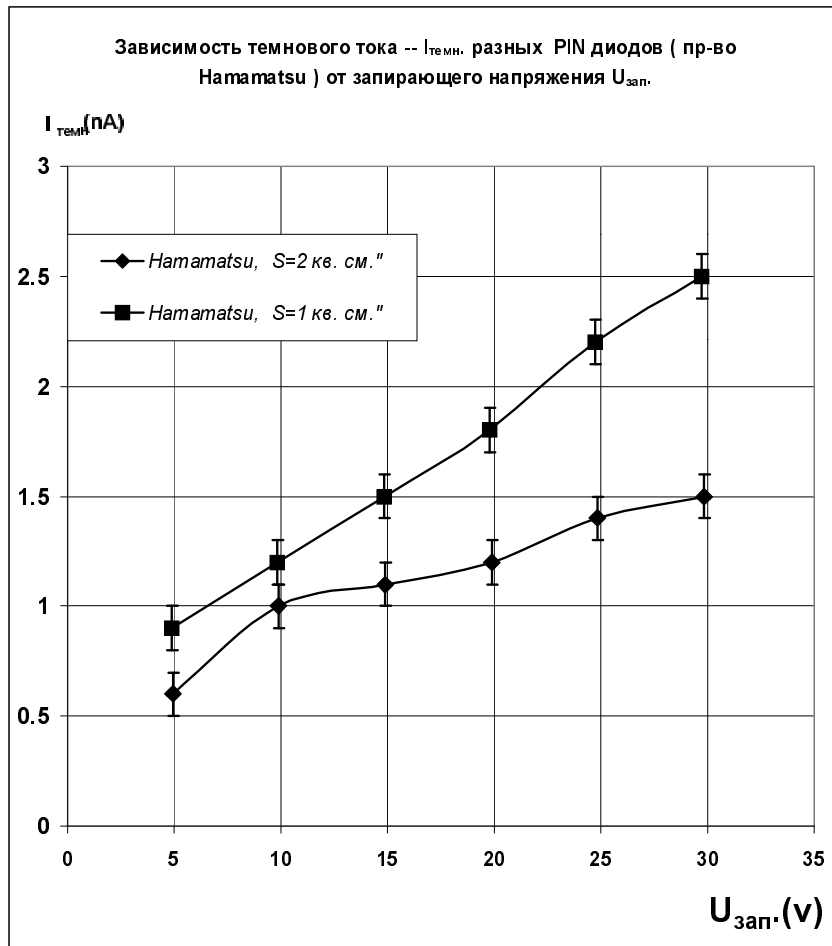


Рис. 5: Зависимость темнового тока от напряжения для двух PIN PD производства Hamamatsu.

Далее снималась зависимость темнового тока от напряжения для APD типа S5345SPL1337 по той же схеме что и для PIN диодов. Отличие заключалось лишь в большем диапазоне подаваемых напряжений (от 10 до 200 вольт). Получившаяся зависимость для одного APD (No.111) представлена на рис.7. Наиболее предпочтительной является область напряжений APD где темновой ток не превышает значения  $\simeq 10nA$ .

Для измерения коэффициента усиления  $g$  в схеме (см. рис.4) включалось освещение (светодиодом), обеспечивающее фототок при напряжении 10 вольт около 5-ти нА. ( $I_0 = 5nA$ ). Считая, что при напряжении



Рис. 6: Фототок от напряжения для PIN PD серии S2744-08 5B3.

на диоде  $U_d = 10$  вольт усиления нет, то есть  $g=1$ , можем вычислить коэффициент усиления при больших напряжениях по формуле:

$$g(U_d) = \frac{I_{ph}}{I_0}, \quad (2)$$

где:

$I_{ph}$ —фототок при напряжении  $U_d > 10V$ .

Зависимость коэффициента усиления  $g$  от напряжения для APD №.111 (в дальнейших работах с APD использовался только этот фотодиод) приведена на рис.8.

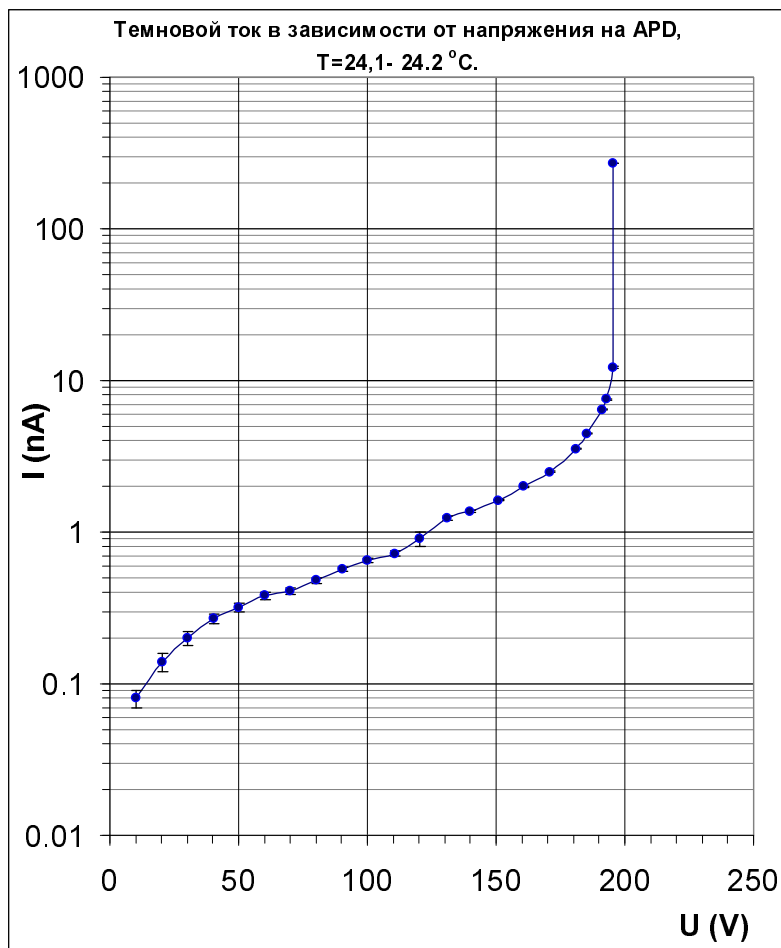


Рис. 7: Темновой ток от напряжения для APD типа S5345SPL1337.

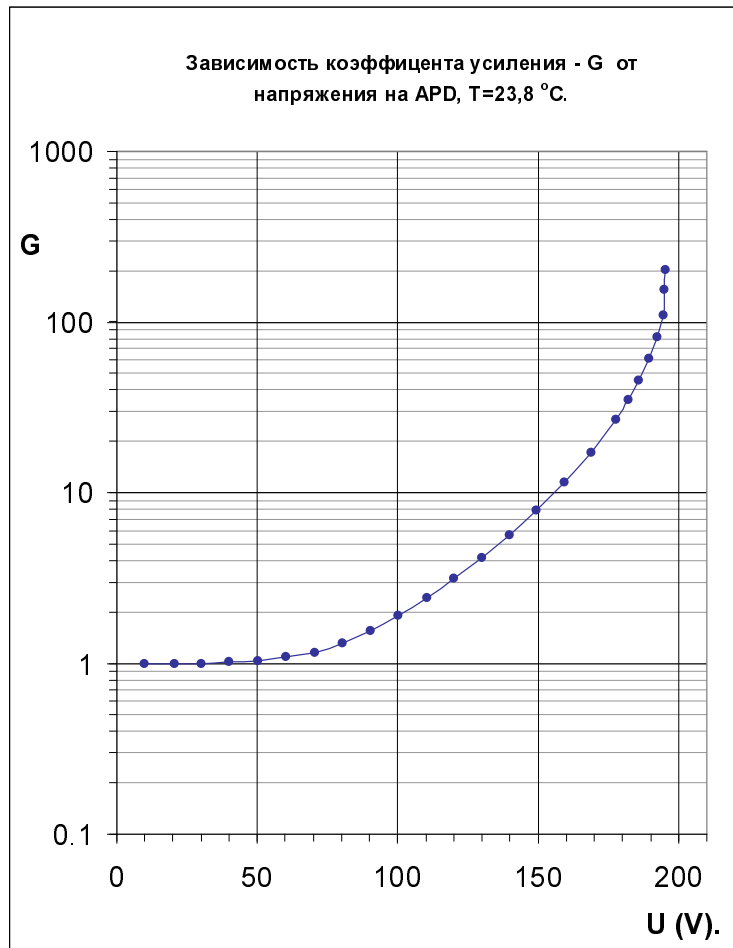


Рис. 8: Коэффициент усиления APD No.111 от напряжения.

### 3. Тракт съёма сигнала с PD и электронный шум

Схема электронного тракта представлена на рис.9.

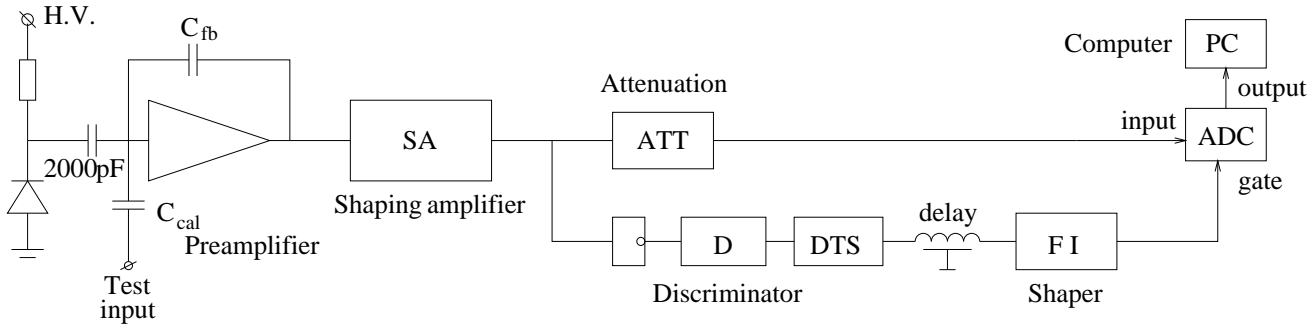


Рис. 9: Схема электронного тракта съёма сигнала с PD.

При попадании N фотонов на светочувствительную область PD, на вход зарядочувствительного предусилителя (ЗЧПУ) поступает заряд, равный:

$$q_{in} = eN\alpha, \quad (3)$$

где:

- е — заряд электрона;
- $\alpha$  — квантовая эффективность PD.

Зарядочувствительный предусилитель интегрирует сигнал, и на его выходе имеем сигнал с амплитудой:

$$U_0 = \frac{q_{in}}{C_{fb}}, \quad (4)$$

где:  $C_{fb}$  — емкость обратной связи предусилителя.

Затем сигнал поступает на вход усилителя-формирователя (УФ), который упрощенно можно представить в виде усилителя дополненного дифференцирующей и интегрирующей цепочками с  $\tau_{int} = \tau_{dif} = \tau$ . Здесь  $\tau$  — время формирования, которое, в использовавшемся УФ — EG&G ORTEC Amplifier 570 можно менять в пределах от 0,5 до 10 мкс.

С выхода УФ импульс колоколообразной формы поступает на вход АЦП, данные с которого обрабатываются на компьютере (строится амплитудный спектр сигнала).

Для определения заряда втекающего в ЗЧПУ проводилась калибровка.

PIN диод, подключенный на вход предусилителя, облучался  $\gamma$  квантами с энергией  $E_\gamma = 60$  кэв. от радиационного источника — Am-241. Энергия, уходящая на образование электрон–дырочной пары в кремнии равна 3,62 эв, поэтому положение пика америция на гистограмме соответствует числу электронов:

$$N_e = 60000 \text{ эв.} / 3,62 \text{ эв.} = 16575 \text{ электронов.}$$

В результате определена цена одного канала гистограммы в электронах.

Калибровку можно проводить, используя тестовый (калибровочный) вход предусилителя. Однако здесь точность калибровки хуже из-за существенной погрешности калибровочной емкости, а также амплитуды калибровочного сигнала.

Если на светочувствительную поверхность PIN диода падает последовательность световых импульсов одинаковой интенсивности, то ширина регистрируемого фотопика определяется:

- 1) статистикой фотоэлектронов;
- 2) электронным шумом.

Электронный шум включает в себя тепловой и дробовой шумы.

Тепловой шум, связанный с тепловыми флуктуациями зарядов цепи, определяется формулой Найквиста :

$$\varepsilon^2 = 4Rk_B T \Delta f, \quad (5)$$

где:

$R$  — шумящее сопротивление;

$k_B$  — постоянная Больцмана;

$T$  — температура в Кельвинах;

$\Delta f$  — спектральная ширина.

Для нашей схемы (см. рис.9) формула Найквиста записывается в виде:

$$\sigma_n = AC_{in} + B, \quad (6)$$

где:

$A$  — коэффициент пропорциональности, определяющий шум на единицу входной емкости (зависит от времени формирования  $\tau$ ).

$B$  — собственный шум предусилителя при  $C_{in} = 0$  (пф.);

$C_{in}$  — емкость, подключенная на вход предусилителя;

Дробовой шум, связанный с наличием постоянного темнового тока в цепи диода, описывается формулой:

$$\sigma_p^2 = 2\tau I_d k, \quad (7)$$

где:

$\tau$ —время формирования;

$I_d$ —темновой ток в цепи диода;

$k$ —безразмерный коэффициент, близкий к единице ( $1 < k < 2$ ), учитывающий особенности электронной схемы УФ.

Таким образом, полный уровень электронного шума —  $\sigma_{tot}$  будет равен:

$$\sigma_{tot} = \sqrt{\sigma_p^2 + \sigma_n^2}. \quad (8)$$

Для измерения уровня тепловых шумов использовалась следующая схема (рис.10 ).

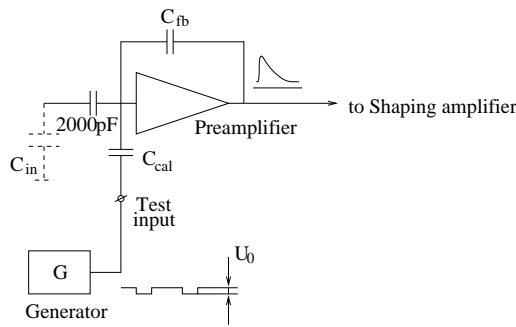


Рис. 10: Схема измерения уровня тепловых шумов.

С генератора Г5-72 подавалась последовательность прямоугольных импульсов амплитуды  $-U_0$  с периодом 10 мс. и длительностью каждого импульса 50 мкс. на тестовый вход предусилителя. Соответственно, втекающий тестовый заряд  $q_t$  будет равен :

$$q_t = U_0 \cdot C_c, \quad (9)$$

где:

$C_c$  — калибровочная емкость.

Зная цену канала гистограммы можем прямо определить тестовый заряд:

$$q_t = 13890 \pm 20 \text{ эл.}$$

При коэффициенте усиления УФ  $K_{amp} = 200$  измерялась ширина тестового пика при разных временах формирования  $\tau = 0, 0.5; 1; 2; 3$  мкс. и при разных входных емкостях  $C_{in} = 0, 100, 200$  пФ. Результаты приведены на рис.<sup>11</sup>

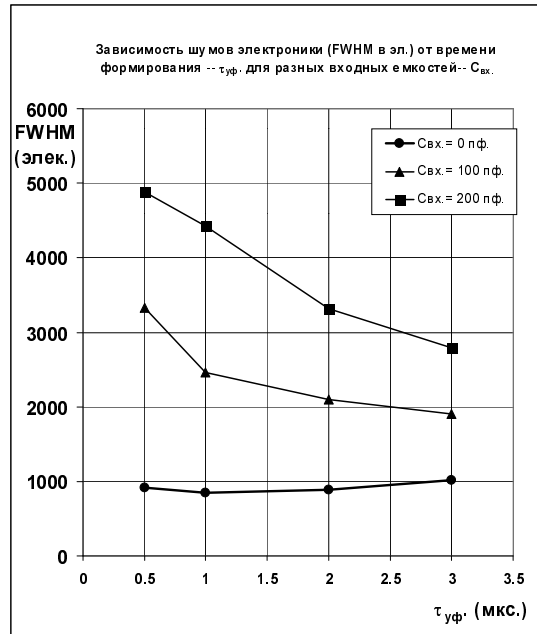


Рис. 11: Термический шум от времени формирования  $\tau$  для нескольких входных емкостей.

Видно, что при входной емкости  $C_{in} \neq 0$  (100,200 пФ.) шумы заметно уменьшаются с увеличением времени формирования –  $\tau$ .

График зависимости А от  $\tau$  для двух емкостей (100 и 200 пФ.) представлен на рис.12. Мы видим уменьшение А с увеличением  $\tau$ , что находится в согласии с формулой Найквиста:  $\sigma_n^2 \sim \Delta f \sim \frac{1}{\tau}$ , из которой следует, что:  $A \sim \frac{1}{\sqrt{\tau}}$ .

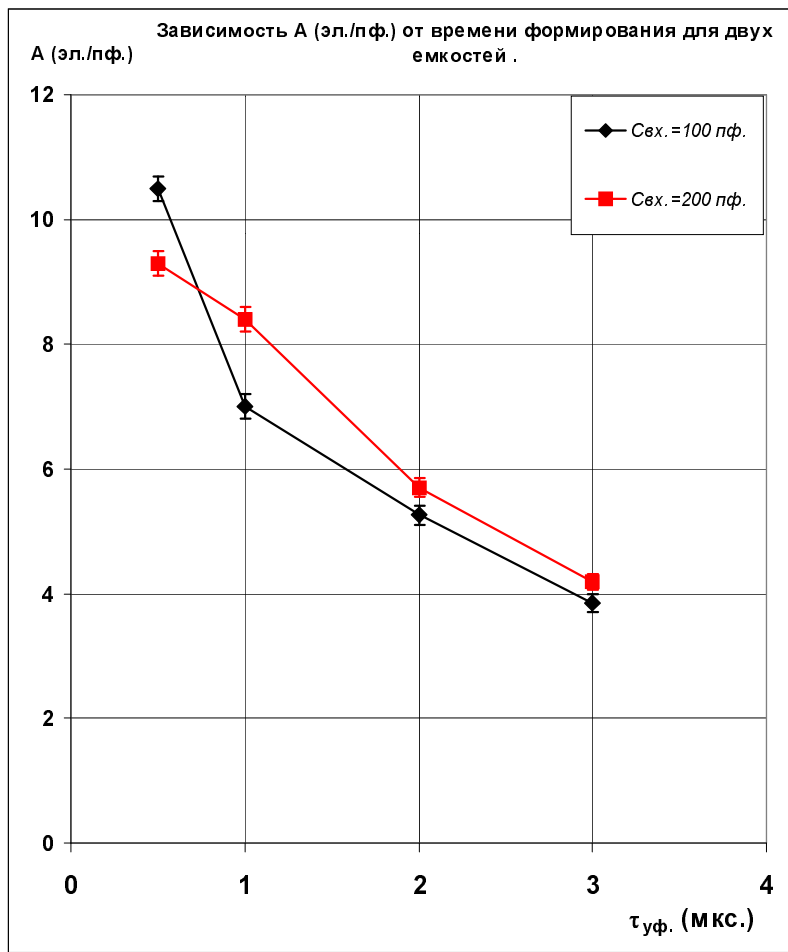


Рис. 12: Зависимость А от  $\tau$  для емкостей 100 и 200 пф.

## 4. Исследование дробового шума

Для АРД при больших  $g$  дробовой шум  $\sigma_p$  составляет основную часть электронного шума  $\sigma_{tot}$ . В рамках дробового эффекта для АРД проявляется наличие избыточного шума, описываемое фактором  $F$ .

Для проверки правильной работы стенда по измерению шумов РД проводилось исследование дробового шума на PIN диоде. Требовалось пропределить коэффициент  $k$  в формуле (7). Схема стенда для измерений представлена на рис.13. Помещенный в светозащищенный объем фотодиод можно было освещать при помощи светодиода.

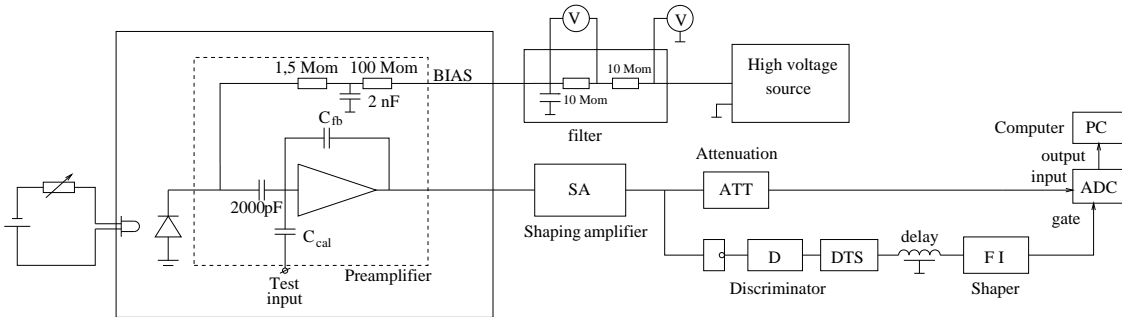


Рис. 13: Схема стенда для исследования дробового шума.

- Электронный шум без освещения ( $I_{ph} = 0$ ):

$$\sigma_{tot}^{(nl)} = 2\tau I_d k + (AC_d + B)^2 \quad (10)$$

- Электронный шум при включенном освещении ( $I_{ph} \neq 0$ ):

$$\sigma_{tot}^{(l)} = \sigma_p^2 + \sigma_n^2 = 2\tau I_{ph} k + 2\tau I_d k + (AC_d + B)^2 \quad (11)$$

Измерения проводились следующим образом.

На тестовый вход предустановленного транзистора подавались импульсы от генератора Г5-72, втекал известный заряд  $q_t$ . На выходе предустановленного транзистора имеем сигнал с амплитудой  $U_0 = \frac{q_t}{C_{fb}}$ . Наряду с тепловым шумом появится исследуемый дробовой шум, обусловленный наличием постоянного тока фотодиода (темновой ток + фототок). Измеряя ширину пика выходного сигнала в отсутствие освещения фотодиода ( $I_{ph} = 0$ ) получаем величину  $\sigma_{tot}^{(nl)}$ . При включенном освещении фотодиода, для значений фототока от

10 до 100 nA., измеряя величину  $\sigma_{tot}^{(l)}$ . По полученным величинам строим зависимость  $\sigma_- = \sqrt{\sigma_{tot}^2(l) - \sigma_{tot}^2(nl)}$  от  $I_{ph}$ ;  $\sigma_-$  представляет собой часть дробового шума, связанного с наличием фототока (см. формулу (11)). Зависимость  $\sigma_-$  от  $I_{ph}$  приведена на рисунке 14.

Также строилась зависимость величины  $k = \frac{\sigma_-^2}{2\pi I_{ph}}$  от фототока, график которой приведен на рис.15. Здесь, в пределах точности измерений, коэффициент  $k$  оказывается равным 1,3 и не зависит от фототока.

Измерение  $\sigma_{tot}$  для APD выполнено с использованием той же схемы без засветки. Результаты представлены на рисунке 16.

Как видно из рисунка при маленьких напряжениях ( $g \simeq 1$ ) доминируют тепловые шумы, и падение шумов с ростом напряжения объясняется уменьшением емкости APD. С дальнейшим увеличением напряжения тепловые шумы выходят на константу, зато растет дробовой шум ( $\sim g$ ). При напряжениях близких к пробойному доминирует дробовой шум.—

---

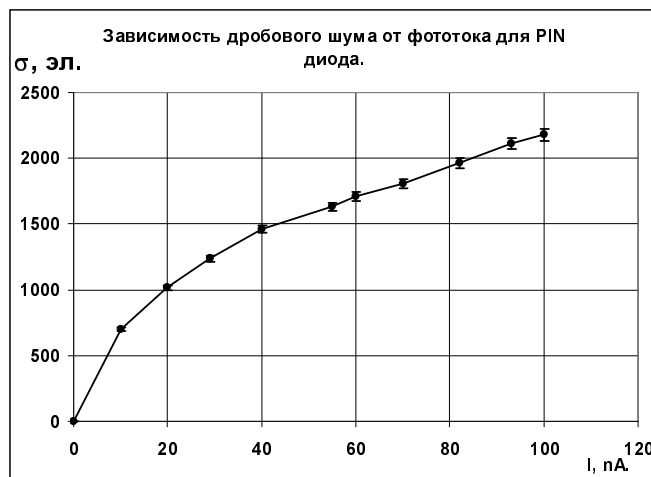


Рис. 14: Зависимость  $\sigma_-$  от  $I_{ph}$ .

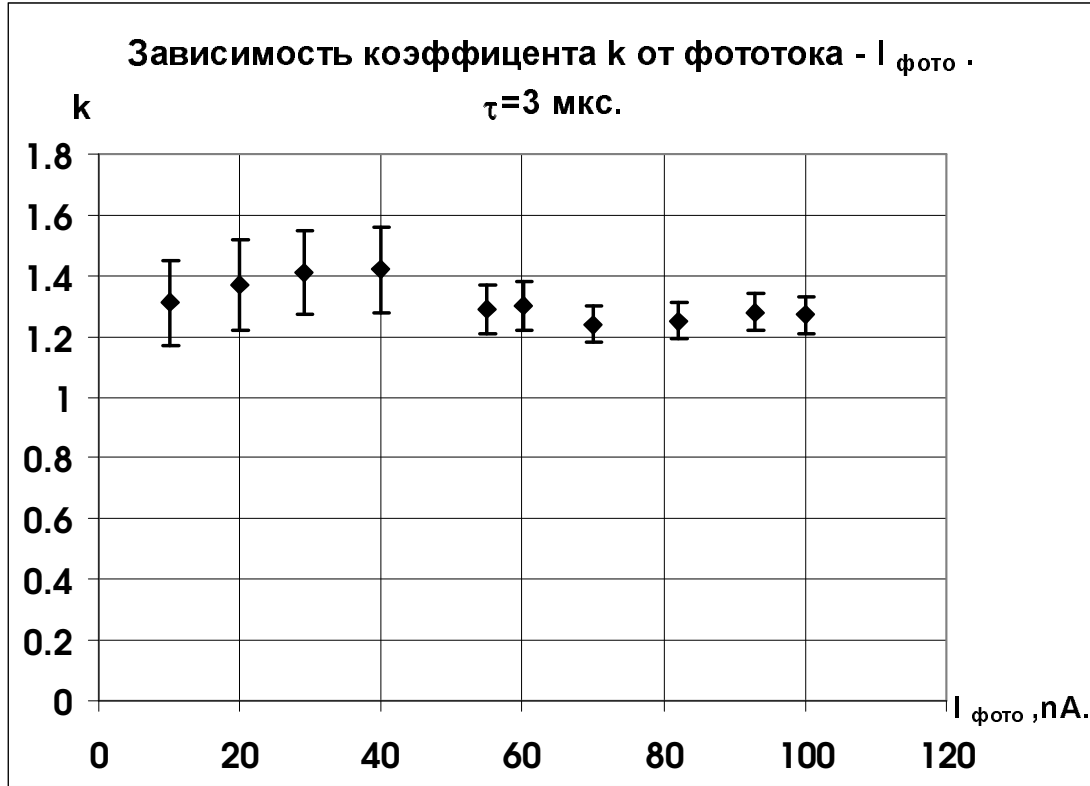


Рис. 15: Зависимость  $k$  от фототока.

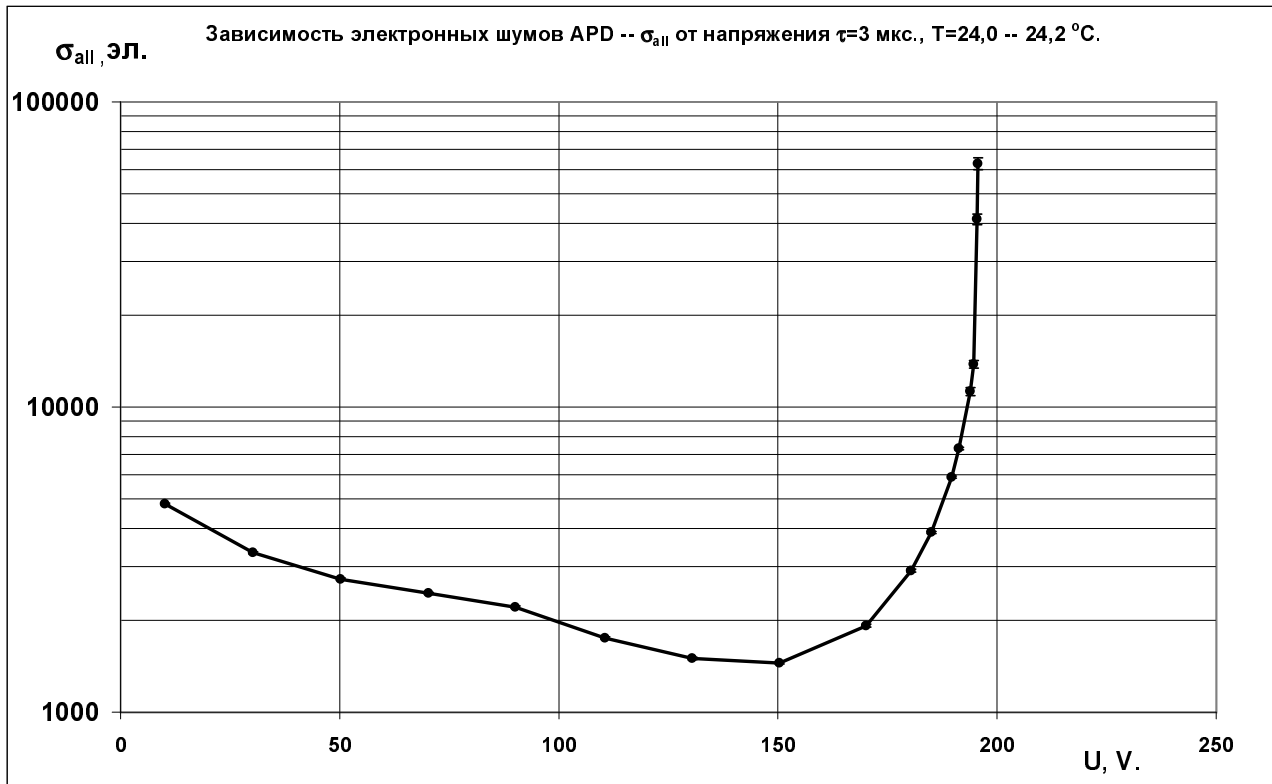


Рис. 16: Электронный шум APD от напряжения.

## 5. Измерение фактора избыточного шума — F.

При использовании APD в режиме усиления ( $g > 1$ ) возникает дополнительное уширение фотопика, связанное с флюктуациями лавины. Для описания этих шумов вводят фактор избыточного шума—F (см. раздел 1.).

Схема стенда для измерения F представлена на рис.13.

Измерения проводились следующим образом.

На тестовый вход предусилителя подавались импульсы от генератора Г5-72. В отсутствие освещения фотодиода ( $I_{ph} = 0$ ) измерялось значение  $\sigma_{tot}^{(nl)}$  и величина темнового тока. При этом:

$$\sigma_{tot}^{2(nl)} = 2\tau I_d g k F + (AC_d + B)^2, \quad (12)$$

где:

$I_d$  — темновой ток APD;

$k = 1, 3$  (по измерению с PIN диодом);

$\tau = 3$  мкс. — время формирования УФ.

При засветке фотодиода в схеме появился дробовой шум, обусловленный наличием фототока  $I_{ph}$ . При постоянном освещении также измерялись шумы ( $\sigma_{tot}^{(l)}$ ) и фототок. При этом:

$$\sigma_{tot}^{2(l)} = 2\tau I_{ph} g k F + 2\tau I_d g k F + (AC_d + B)^2, \quad (13)$$

где:  $I_{ph}$  — фототок.

Величина  $\sigma_- = \sqrt{\sigma_{all}^{2(light)} - \sigma_{all}^{2(no light)}}$  представляет собой часть дробового шума, связанного с наличием фототока (см.формулу (13)).

Коэффициент усиления g вычислялся по формуле (2), где  $I_0 = 5,0 \text{ nA}$ .

Фактор избыточного шума F определялся по формуле :

$$F = \frac{\sigma_-}{2\tau I_{ph} g k} \quad (14)$$

Зависимость фактора F от напряжения представлена на рис.17. График зависимости F от коэффициента усиления g показан на рис.18. Из него видно, что вплоть до  $g \simeq 40$   $F \simeq 2$ , с увеличением g F начинает расти.

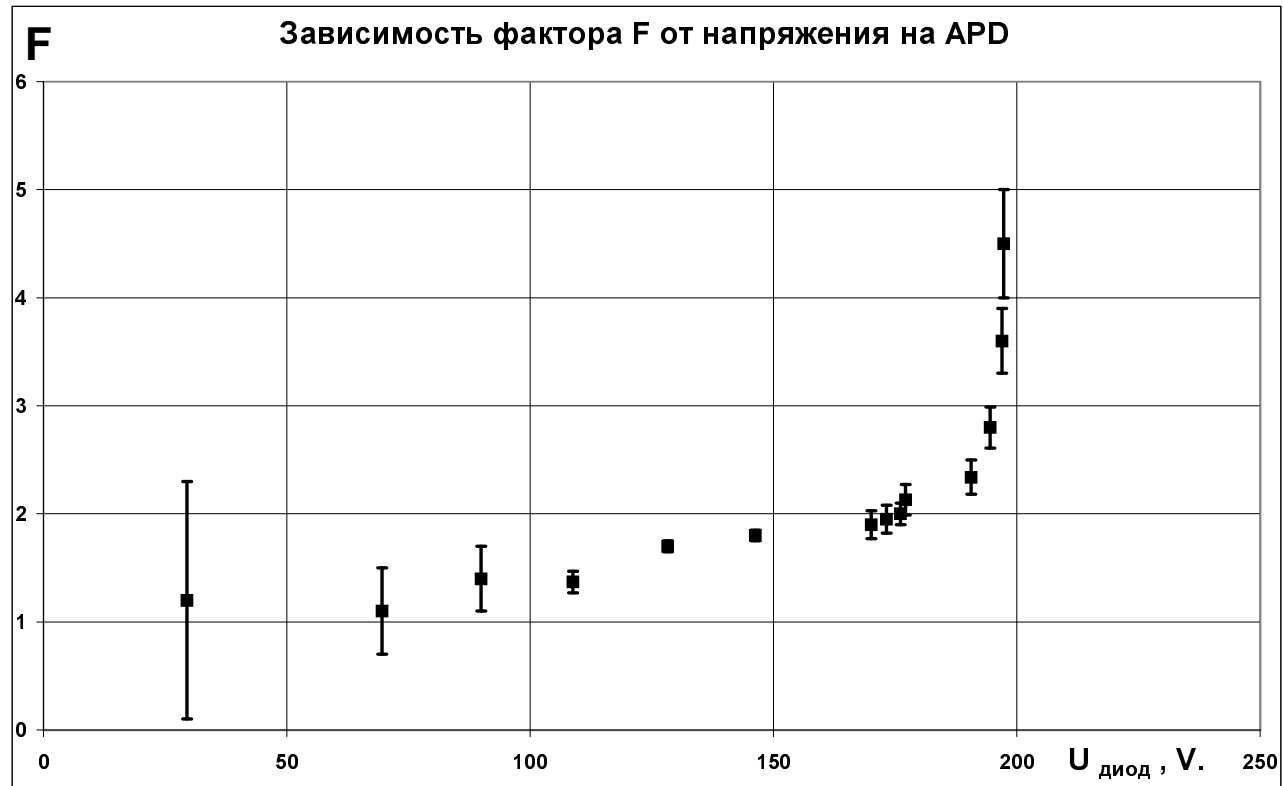


Рис. 17: Зависимость фактора F от напряжения.

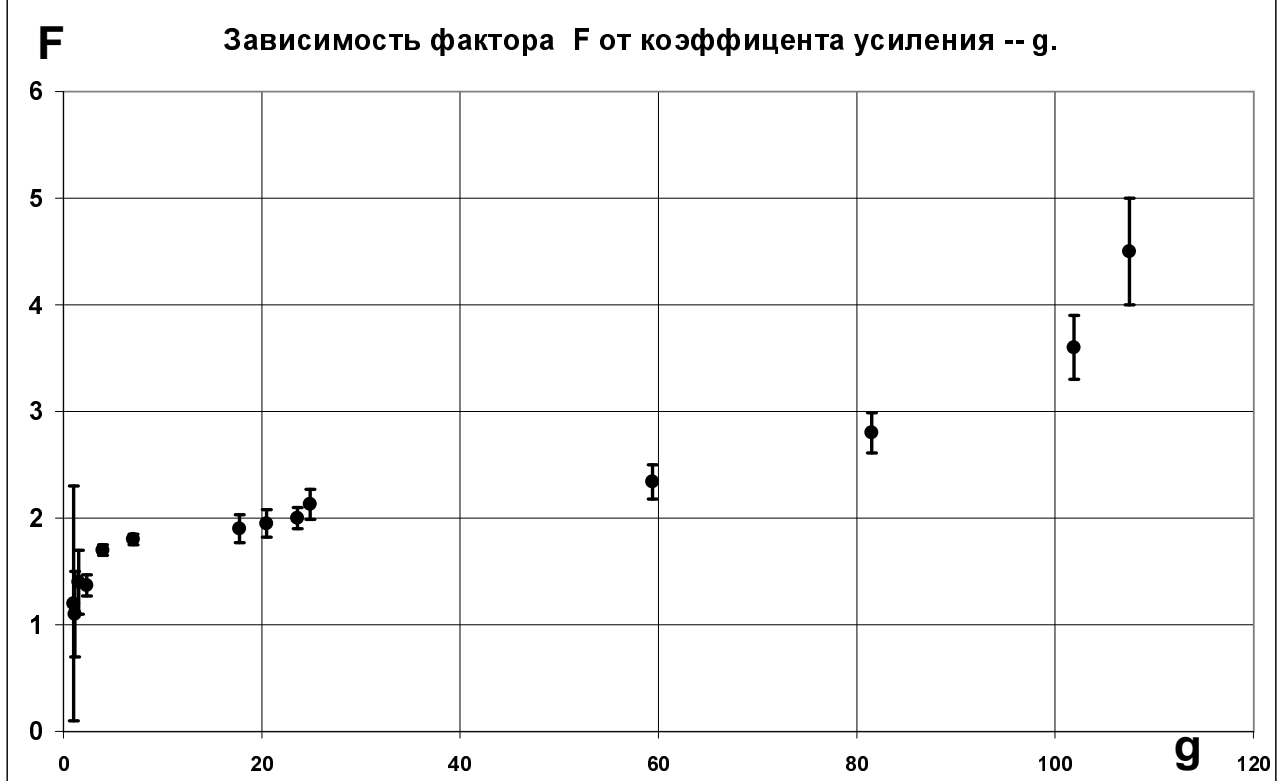


Рис. 18: Зависимость фактора F от коэффициента усиления g.

## 6. Исследование разрешения сцинтиляционного счетчика на основе кристаллов: CsI(Tl), BGO , лютеций–алюминиевого граната, с применением APD и PIN PD.

Схема счетчика представлена на рис.19. К торцу сцинтиляционного кристалла, обернутого несколькими слоями тефлона, на оптическом контакте присоединяется APD. Тракт съёма сигнала с APD показан на рис.9. При попадании  $\gamma$  кванта в кристалл происходит сцинтиляционная вспышка, часть света вспышки (описываемая коэффициентом светосбора –  $K_c$ ) попадает на светочувствительную поверхность APD и конвертирует в электрон–дырочные пары (с коэффициентом квантовой эффективности  $\alpha = 70 \div 80\%$ ). Таким образом, если световой выход кристалла (количество родившихся сцинтиляционных фотонов на единицу оставленной в кристалле энергии) будет –  $S$  фотонов/Мэв., то число пар  $N_0$ , родившихся в рабочем объеме APD, при попадании в кристалл  $\gamma$  кванта энергии  $E_\gamma$ , дается формулой:

$$N_0 = E_\gamma(\text{Mev.}) S K_c \alpha. \quad (15)$$

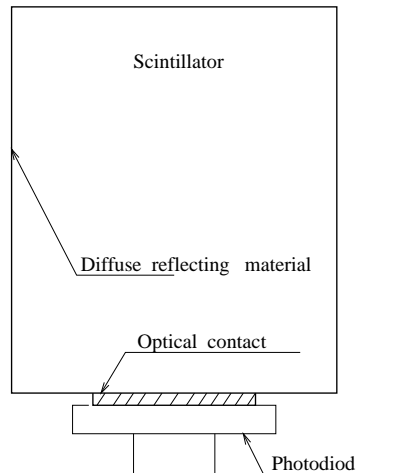


Рис. 19: Схема сцинтиляционного счетчика.

Количество пар на выходе APD будет  $N_0 g$ , а шумы счетчика определяются двумя составляющими (приведенными к выходу APD):

- статистикой пар с учетом избыточного шума :

$$\sigma_s^2 = N_0 g^2 F, \quad (16)$$

- электронными шумами:

$$\sigma_{tot}^2 = \sigma_p^2 + \sigma_n^2 \quad (17)$$

(см. раздел 3).

Тогда шум счетчика дается выражением:

$$\sigma = \sqrt{\sigma_s^2 + \sigma_{tot}^2}. \quad (18)$$

Энергетическое разрешение счетчика  $\frac{\sigma_E}{E}$  в нашем случае:

$$\frac{\sigma_E}{E} = \sqrt{\frac{F}{N_0} + R_{tot}^2}, \quad (19)$$

где:

$\sqrt{\frac{F}{N_0}}$  – статистическое разрешение;

$R_{tot} = \frac{\sigma_{tot}}{N_0 g}$  – разрешение, связанное с электроникой.

Если кристалл неоднороден, то появляется добавочный вклад в разрешение счетчика –  $R_a$ , тогда окончательное выражение будет:

$$\frac{\sigma_E}{E} = \sqrt{\frac{F}{N_0} + R_{tot}^2 + R_a^2}. \quad (20)$$

В данной работе проводились измерения зависимости  $\frac{\sigma_E}{E}$  для разных кристаллов (CsI(Tl), BGO, алюминиевого граната) и разных времен формирования  $\tau$  от напряжения на APD.

Кристалл облучался  $\gamma$  квантами с энергией  $E_\gamma$  от радиоактивных источников ( $Cs^{137}$ ,  $Na^{22}$ ,  $Co^{60}$ ). Измерялся спектр сигнала, и определялась ширина фотопика, соответствующего энергии  $E_\gamma$ , в зависимости от напряжения на APD.

- Измерения с CsI(Tl).

В качестве источника  $\gamma$  квантов здесь использовался  $Na^{22}$  ( $E_{\gamma 1} = 511 keV$ ;  $E_{\gamma 2} = 1275 keV$ ). На рис.20,21 показаны спектры двух  $\gamma$  источников –  $Cs^{137}$ ,  $Na^{22}$ , полученные на CsI(Tl).

Измерение  $\frac{\sigma_E}{E}$  проводилось для двух энергий, а также при разных временах формирования  $\tau = 1; 3$  мкс. На рис.22 и 23 приведены графики зависимости  $\frac{\sigma_E}{E}$  от напряжения на APD для энергий  $E_{\gamma 1} = 511 keV$ . и  $E_{\gamma 2} = 1275 keV$ . соответственно, при  $\tau = 1; 3$  мкс.

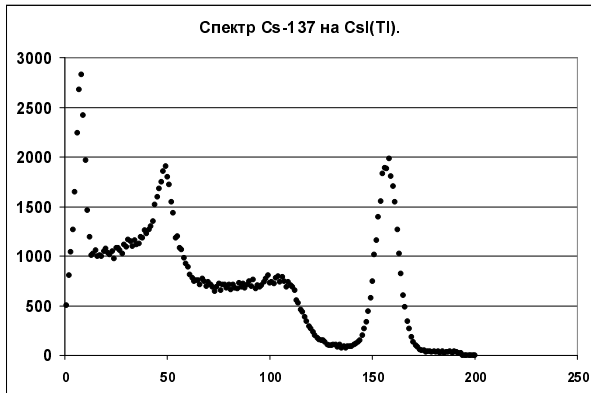


Рис. 20: Спектр  $Cs^{137}$  с CsI(Tl)

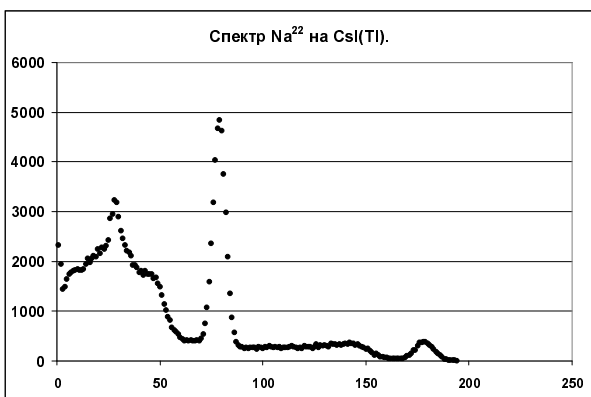


Рис. 21: Спектр  $Na^{22}$  с CsI(Tl)



Рис. 22: Зависимость разрешения счетчика на CsI(Tl) от напряжения APD при  $E_{\gamma} = 511$  кэв.

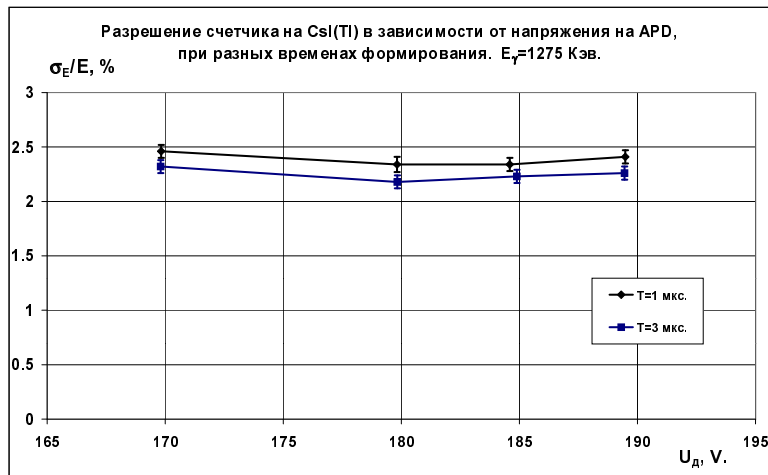


Рис. 23: Зависимость разрешения счетчика на CsI(Tl) от напряжения APD при  $E_{\gamma} = 1275$  кэв.

- Измерения с BGO.

Источник  $\gamma$  квантов —  $Na^{22}$ . На рис.24 показан спектр  $Na^{22}$ , полученный на BGO. На рис.25 приведены графики зависимости  $\frac{\sigma_E}{E}$  от напряжения на APD для энергии  $E_{\gamma 1} = 511 kev$  , при  $\tau = 0,5; 1; 2$  мкс.— — —

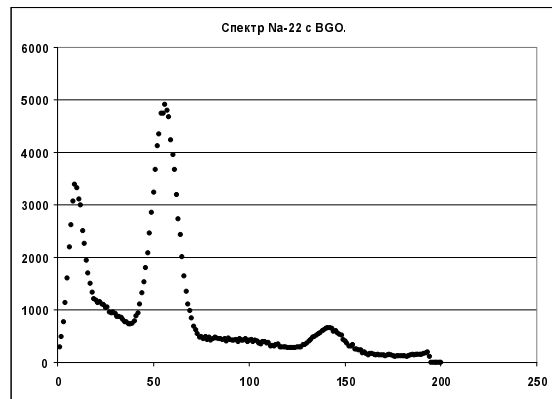


Рис. 24: Спектр  $Na^{22}$  на BGO.

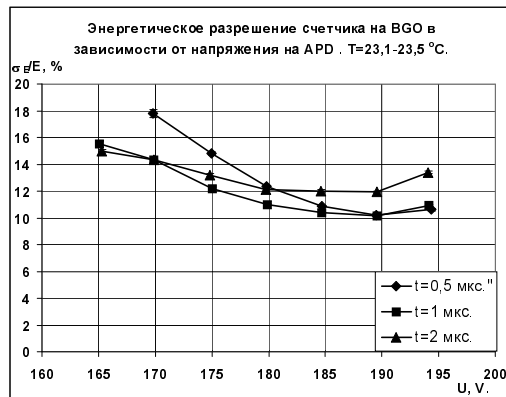


Рис. 25: Зависимость разрешения счетчика на BGO от напряжения APD при  $E_{\gamma} = 511$  кэв.

- Измерения с лютеций – алюминиевым гранатом ( $Lu_3Al_5O_{12}$ ).

Источник  $\gamma$  квантов —  $Cs^{137}$ . На рис.26 показан спектр  $Cs^{137}$ , полученный на алюминиевом гранате. На рис.27 приведен график зависимости  $\frac{\sigma_E}{E}$  от напряжения на APD для пика  $E_\gamma = 662\text{kev}.$ ;  $\tau = 3 \text{ мкс.}$



Рис. 26: Спектр  $Cs^{137}$  на алюминиевом гранате.

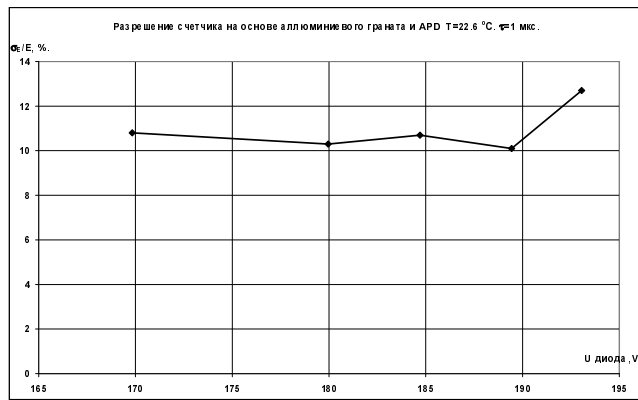


Рис. 27: Зависимость разрешения счетчика на алюминиевом гранате от напряжения APD при  $E_\gamma = 662 \text{ кэв.}$

При  $U_{APD} = 180 \text{ V}$ . был определен вклад электронного и статистического шумов в разрешение счетчика на  $CsI(Tl)$ , а также получены значения добавочного разрешения  $R_a$  для двух энергий  $E_\gamma = 511; 1275 \text{ кэв.}$ (источник —  $Na^{22}$ ). Эти данные приведены в таблице 1.

Электронный шум  $\sigma_{tot}$  определялся по ширине тестового пика (см. раздел 4).

Таблица 1.

$E_\gamma$ кэв.	$\frac{\sigma_E}{E} \%$	$R_s \%$	$R_{tot} \%$	$R_a \%$
511	$3,83 \pm 0,04$	$1,78 \pm 0,08$	$1,49 \pm 0,01$	$3,0 \pm 0,1$
1275	$2,12 \pm 0,05$	$1,15 \pm 0,06$	$0,629 \pm 0,004$	$1,67 \pm 0,07$

При  $U_{APD} = 190$  V. был определен вклад электронного и статистического шумов в разрешение счетчика на CsI(Tl), а также получено значение  $R_a$  для энергии  $E_\gamma = 662$  кэв. (источник —  $Cs^{137}$ ). Данные приведены в таблице 2.

Таблица 2.

$E_\gamma$ кэв.	$\frac{\sigma_E}{E} \%$	$R_s \%$	$R_{tot} \%$	$R_a \%$
662	$3,26 \pm 0,02$	$1,97 \pm 0,12$	$0,79 \pm 0,01$	$2,5 \pm 0,1$

Видно, что  $R_a$  уменьшается с ростом  $E_\gamma$ , значит помимо неоднородности кристалла, не зависящей от энергии, существуют эффекты, вклад которых в уширение фотопика уменьшается с ростом  $E_\gamma$ .

В качестве таких эффектов можно привести следующие.

- Начальный  $\gamma$  квант поглощается в кристалле в результате фотоэффекта на внутренней (К) оболочке атома. При этом атом возбуждается. Переход атома в основное состояние сопровождается испусканием фотона энергии  $E_p$ . Для CsI(Tl)  $E_p = 30$  кэв. Часть этого излучения может не поглотиться и покинуть кристалл. В результате доля событий полного поглощения будет смещена по энергии на 30 кэв. Тогда относительное уширение пика с  $E_\gamma = 511$  кэв. будет больше чем для пика с  $E_\gamma = 1275$  кэв.
- Чем меньше энергия начального  $\gamma$  кванта, тем больше доля событий двойного комптоновского рассеяния в объеме кристалла. Часть этих событий попадает в область фотопика и вблизи него, приводя к уширению пика.

Было оценено влияние эффекта вылета на уширение фотопика. Оказалось, что в 4.3% случаев 30-тикэвный  $\gamma$ -квант вылетает из кристалла. В этом случае для величины добавочного разрешения имеем:

$$R_a = \frac{6.0}{E(KeV.)}. \quad (21)$$

Таким образом имеем:

- для  $E_\gamma = 511$  КэВ. —  $R_a = 1.2\%$
- для  $E_\gamma = 1275$  КэВ. —  $R_a = 0.5\%$

$\Delta R = \sqrt{R_a^2(511) - R_a^2(1275)} = 1.09\%$ -что заметно меньше, чем наблюдаемая разница добавочных разрешений.

Для проверки результатов приведенных в табл.1,2 было сделано измерение добавочного разрешения счетчика по следующей схеме (см.рис.28 ).

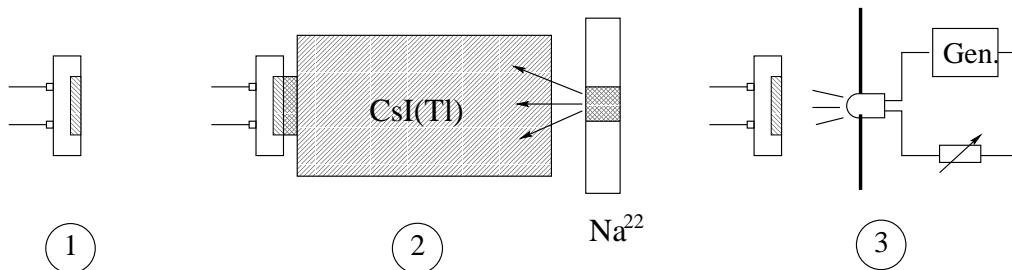


Рис. 28: Схема измерения со светодиодной засветкой

1) Проводится измерение шума фотодиода (дробовой+тепловой) по ширине пика калибровочного сигнала.

2) Измерение разрешения счетчика  $\frac{\sigma_E}{E}$  при  $E_\gamma = 511, 1275$  КэВ. Определение статистического шума.

3) Измерение ширины пика импульсной засветки светодиодом с амплитудой импульса равной амплитуде от  $\gamma$ -кванта с энергиями: 511,1275 КэВ. (Т.е. прямое определение разрешения счетчика без добавочного разрешения, связанного с кристаллом).

Результаты этого измерения приведены в таблице 3.

Проводилось исследование разрешения счетчика на основе PIN фотодиода и сцинтилляционного кристалла CsI(Tl).

Таблица 3.

$E_\gamma$ кэВ.	$\frac{\sigma_E}{E}$ %	$R_s$ %	$R_{tot}$ %	$R_{sum}$ %	$R_{sum}^{id}$ %	$R_a$ %	$R_a^{id}$ %
511	$4,28 \pm 0,02$	$2,17 \pm 0,03$	$1,85 \pm 0,03$	$2,85 \pm 0,03$	$3,23 \pm 0,05$	$3,19 \pm 0,04$	$2,81 \pm 0,06$
1275	$2,72 \pm 0,06$	$1,38 \pm 0,02$	$0,75 \pm 0,01$	$1,57 \pm 0,02$	$1,91 \pm 0,02$	$2,22 \pm 0,07$	$1,94 \pm 0,08$

где:

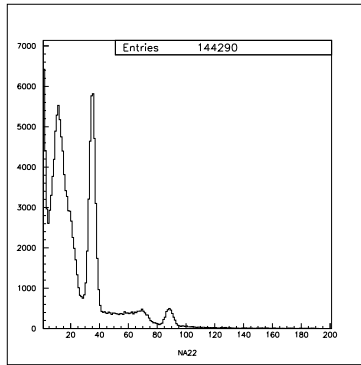
$$R_{sum} = \sqrt{R_s^2 + R_{tot}^2};$$

$R_{sum}^{id}$  –  $R_{sum}$  в случае засветки светодиодом;

$$R_a^{id} = \sqrt{(\frac{\sigma_E}{E})^2 - (R_{sum}^{id})^2}.$$

Кристалл размерами  $2 \times 1 \times 1$  см. облучался источниками  $\gamma$  квантов –  $Na^{22}$ ,  $Cs^{137}$ . Измерялось разрешение счетчика для двух энергий  $\gamma$ -кванта: 662,1275 КэВ (время формирования  $\tau = 2$  мкс.).

На рис.29 показан спектр сигнала со счетчика, облучаемого  $\gamma$  квантами от  $Na^{22}$ .

Рис. 29: Спектр  $Na^{22}$  на  $CsI(Tl) + PIN PD$ .

Результаты измерений сведены в таблицу 4.

Таблица 4.

$E_\gamma$ кэВ.	$\frac{\sigma_E}{E}$ %	$R_s$ %	$R_{tot}$ %	$R_a$ %
662	$4,64 \pm 0,03$	$0,651 \pm 0,003$	$4,28 \pm 0,06$	$1,67 \pm 0,18$
1275	$2,98 \pm 0,14$	$0,474 \pm 0,002$	$2,40 \pm 0,04$	$1,70 \pm 0,24$

Из таблицы видно, что добавочное разрешение не зависит от  $E_\gamma$ , т.о. неоднородность светосбора равна  $\simeq 1,7\%$ .

## 7. Большой счетчик на основе кристалла CsI(Na) и PIN фотодиода.

Калориметр детектора КМД-2 (ИЯФ) состоит из сцинтилляционных кристаллов CsI(Na) и CsI(Tl) размерами  $15 \times 6 \times 6$  см. Съём сигнала с кристалла производится с помощью ФЭУ-60. Планируется заменить ФЭУ на PIN фотодиод производства Hamamatsu (Япония).

Был сделан счетчик на основе кристалла CsI(Na) с размерами  $15 \times 6 \times 6$  см. и PIN фотодиода Hamamatsu S2744-08 5B3 (светочувствительная площадь 2 кв.см.).

На рис.30 показан спектр амплитудного распределения сигнала от космических частиц. Положение пика соответствует энерговыделению в кристалле  $\simeq 36$  МэВ. Световойход счетчика равен 2550 фотоэлектронов/МэВ. Зная, что шумы электроники  $\simeq 1000$  ф.э. получаем шум счетчика  $\simeq 400$  КэВ.

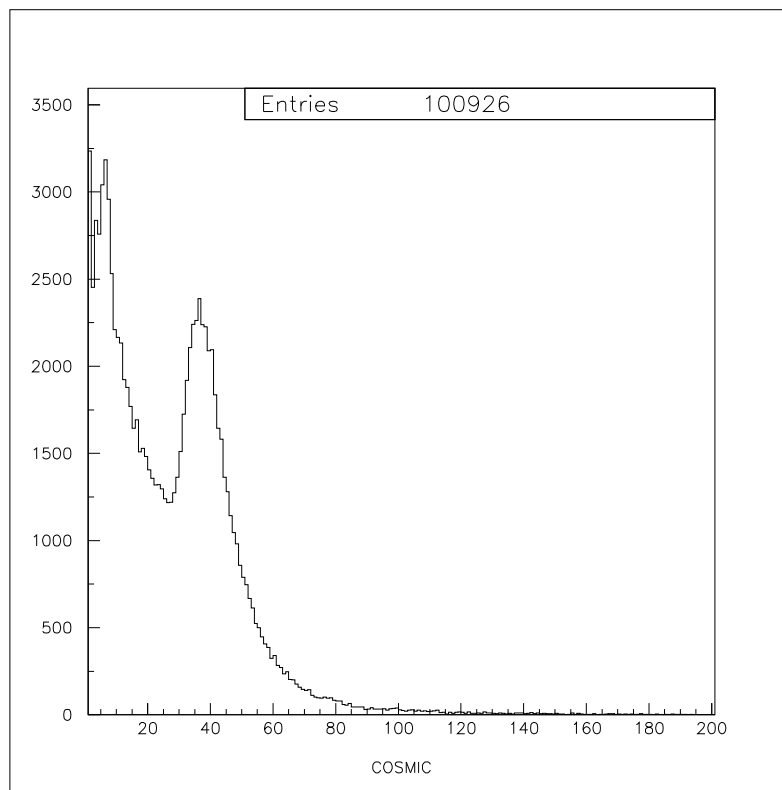


Рис. 30: Спектр космики.

## Заключение

В данной работе были измерены основные характеристики лавинных фотодиодов ( зависимость темнового тока и коэффициента усиления от напряжения ). Получена зависимость электронного шума ( тепловой + дробовой шум ) APD от напряжения. Исследовано поведение фактора избыточного шума  $F$  с изменением напряжения и коэффициента усиления APD.

Для сцинтилляционных счетчиков на основе кристаллов CsI(Tl), BGO, лютеций– алюминиевого граната получены зависимости энергетического разрешения от напряжения APD.

Для CsI(Tl) определен вклад :

- 1) статистики фотоэлектронов,
- 2) электронного шума

в энергетическое разрешение счетчика; при  $U_d = 180,2\text{ V}$  для энергий  $E_\gamma = 511, 1275\text{ кэв.}$ , при  $U_d = 189,4\text{ V}$  для  $E_\gamma = 662\text{ кэв.}$

Обнаружено уменьшение величины остаточного разрешения с увеличением  $E_\gamma$  для счетчика на основе APD. Этот эффект требует дальнейшего рассмотрения.

Исследован сцинтилляционный счетчик на основе PIN фотодиода, который планируется использовать в калориметре детектора элементарных частиц КМД-2000(ИЯФ). Шум электроники составил 400 КэВ.

Хочу поблагодарить моего научного руководителя Б.А.Шварца за помощь и постоянное внимание к работе, а также С.Орешкина за помощь и ценные советы.

## Список использованной литературы:

- [1] Belle Progress Report, March 1997.
- [2] E. Lorenz, S. Natkaniez, D. Renker, B. Schwartz  
Fast Readout of Plastic and Crystal Scintillators by Avalanche Photodiodes.  
Max-Planck-institut fur physik , Werner-Heisenberg-institut, MPI-PhE/93-  
23. October 1993.
- [3] R. Lecomte , C. Pepin , D. Rouleau , A. Saoudi , M. S. Andreaco , M.  
Casey , R. Nutt , H. Dautet and P. P. Webb  
"Investigation of GSO, LSO and YSO Scintillators Using Reverse Avalanche  
Photodiodes IEEE Trans. Nucl. Sci., vol. 45, no. 3, pp. 478-472, 1998.
- [4] Noise characteristics of advanced photonix avalanche photodiodes.  
Advanced Photonix, Inc. December, 1991.